

به نام خداوند بخشنده و مهربان

۱۸۷۶



دانشکده: مهندسی
گروه: مکانیک

پایان نامه:

برای دریافت درجه دکتری در رشته مهندسی مکانیک

عنوان:

تأثیر تنش های پسماند اتفاقی بر عمر خستگی اتصالات جوش

استادان راهنما:

دکتر غلامحسین مجذوبی (استاد دانشگاه بوعالی سینا)

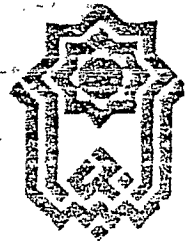
دکتر غلامحسین فرهی (استاد دانشگاه صنعتی شریف)

جزء احادیث مارک سمل پیلا
تسبیح کرد

پژوهشگر:

Abbas Fadaei

دیماه ۱۳۸۷



دانشکده بولی سینا

دانشکده مهندسی

تاریخ
شماره
پیوست

بیان

گواهی تصویب پایان نامه

موضوع پایان نامه: نایاب رسیل سازند آنهاقی بررسی غرختی معادلات صفحه ای رشد

بدینوسیله گواهی می شود جلسه دفاعیه پایان نامه خانم / آقای: محمصلی پیمان پیش
رشته: محسنک پیشنهاد وردی: ۱۱۰۱ نیمسال انتخابی: ۱۴۰۰
در روز: ۲۹ آذر ۱۴۰۰ ساعت: ۱۱:۵۰ تحت سرپرستی:
۱- استاد راهنمای: جناب آقای / سرکار خانم: دکتر محمد علی پیغمبری دکتر عباس فرجی
۲- استاد مشاور: جناب آقای / سرکار خانم: دکتر غلامرضا نادری

در محل آبجی تباش برگزار گردید که پس از بررسی از طرف نامبردگان پایان نامه فوق با
نمره ۱۱۰۰ درجه ۷۰ در تاریخ ۲۹ آذر ۱۴۰۰ به تصویب رسید.

نام و نام خانوادگی و امضاء استاد راهنمای: دکتر غلامرضا نادری
نام و نام خانوادگی و امضاء استاد مشاور: دکتر غلامرضا نادری
نام و نام خانوادگی و امضاء استاد مدعو: ۱- دکتر محمد علی پیغمبری
۲- دکتر عباس فرجی
۳- دکتر پیر مردمیز
نام و نام خانوادگی و امضاء ناظر تحصیلات تکمیلی: دکتر علیرضا پیغمبری
نام و نام خانوادگی مدیر گروه یا نماینده و امضاء: دکتر علیرضا پیغمبری
دکتر نادر نادری

مدیر گروه مهندسی: مدیر

نام و نام خانوادگی و امضاء: دکتر نادر نادری

تقدیم به روح پدرم

همه امتیازهای این پایان نامه به دانشگاه بوعلی سینا تعلق دارد. در صورت استفاده از تمام یا بخشی از مطالب پایان نامه در مجلات، کنفرانس‌ها و یا سخنرانی‌ها باید نام دانشگاه بوعلی سینا و نام دانشجو با ذکر مأخذ و ضمن کسب مجوز کتبی از دفتر تحصیلات تکمیلی دانشگاه ثبت شود. در غیر این صورت مورد پیگرد قانونی قرار خواهد گرفت.

تقدیر و تشکر

در کار تدوین این پایان نامه مسیری پر پیچ و خم را طی کردم. اگر نبود عنایات الهی و همراهی اساتید بزرگوار، خانواده ام و دوستان عزیزم قطعاً" به این امر موفق نمی شدم. بر خود واجب می دانم از کمک ها و راهنمایی های اساتید گرامی جناب آقای دکتر فرهی و جناب آقای دکتر مجذوبی کمال تشکر و قدردانی خود را ابراز دارم. همچنین از آقای مهندس وفائی در شرکت هپکو به جهت مساعدت وافر ایشان در تهیه نمونه های آزمایشی و آقایان مهندس نعمتی و مهندس رسولی کارشناسان آزمایشگاه مقاومت مصالح به جهت همراهی و کمک هایشان سپاسگزارم.

Abbas Fadaei

۱۳۸۷

عنوان پایان نامه: تاثیر تنش های پسماند اتفاقی بر عمر خستگی اتصالات جوش

اساتید راهنمای: دکتر غلامحسین مجذوبی و دکتر غلامحسین فرهی

مقطع: دکتری رشته: مکانیک گرایش: خواص مکانیکی مواد دانشگاه: بیوعلی سینا
دانشکده: مهندسی تاریخ فارغ التحصیلی: ۲۹ دی ۱۳۸۷ تعداد صفحات: ۲۴۵

کلید واژه ها: جوشکاری MAG، تنش پسماند، روش سوراخ کاری، عمر خستگی، الگوریتم زنتیک.

چکیده

جوشکاری فلزات با قوس گازی (MAG) یک فرآیند اتصال می باشد که در تعداد زیادی از سازه ها استفاده می شود. به دلیل حرارت موضعی فرآیند جوشکاری و سردکاری سریع بعد از آن، تنش های پسماند در خود جوش و در قطعه جوشکاری شده ایجاد می شوند. تنش های پسماند می توانند بر عمر خستگی قطعات جوشکاری شده تأثیر بگذارند. بنابراین، سنجش یا پیش بینی تنش های پسماند ضروری است. روش سوراخ کاری یکی از فنون تجربی است که به طور گسترده ای برای اندازه گیری تنش های پسماند مورد استفاده قرار می گیرد. به دلیل تأثیر نافذ عوامل متعدد روی طبیعت اتصالات جوش، رفتار خستگی ساختارهای جوشکاری شده پیچیده می باشد. معمولاً "روش های قطعی برای تخمین قابلیت اطمینان ساختاری یا ایمنی استفاده می شوند. در این روش ها عواملی همچون استحکام خستگی، محدوده تنش و تنش های پسماند نوعاً بر اساس مقادیر متوسط سنجیده می شوند. در بعضی از صنایع، مقادیر استفاده شده برای

استحکام و محدوده تنش براساس بدترین شرایط انتخاب می شوند. این امر منجر به یک ارزیابی محتاطانه و غیر واقع بینانه از ایمنی می شود. معمولاً توزیع های آماری این عوامل در مدل های قطعی نادیده گرفته میشوند. در فن آوری جدید استفاده از روش های آماری در برنامه ریزی و تفسیر آزمایش های خستگی یک ضرورت است..

در این تحقیق، نمونه هایی از ورق های فولادی St-37 به ضخامت ۱۹ میلیمتر آماده شدند.

با انجام عملیات فرزکاری و سنگ زنی ضخامت ورق ها به $12/5$ میلیمتر تقلیل یافت. سپس یک پخ V شکل استاندارد روی یک لبه از ورق ها ایجاد شد. با فرآیند جوشکاری استاندارد MAG دو ورق به صورت لب به لب جوشکاری شدند. جهت ارزیابی کیفی، جوش ها با استفاده از رادیوگرافی اریدیوم ۱۹۲ آزمون شدند. این آزمون ها نشان دادند که کلیه جوش ها مورد قبول می باشند. با استفاده از روش سوراخ کاری و در انطباق با استاندارد ASTM E837 تنش های پسماند جوشکاری روی ۲۰ نمونه اندازه گیری شدند. توزیع فراوانی تنش های پسماند، یک توزیع طبیعی با مقدار متوسط $48/75$ مگاپاسکال را نشان داد. اثر بارگذاری متناوب روی رهائی تنش های پسماند جوشکاری جستجو شد. این تحقیق نشان داد که تنش پسماند بعد از ۱۵۰۰۰ سیکل به نصف کاهش یافته و مقدار آن بعد از ۳۵۰۰۰ سیکل به 20% مقدار اولیه خود می رسد. آزمایش های خستگی محوری با کنترل بار جهت تعیین عمر خستگی نمونه ها مطابق استاندارد ASTM E466 انجام گردید. نتایج آزمایش ها نشان دادند که توزیع فراوانی نسبی عمر خستگی نمونه ها به خوبی توسط توزیع طبیعی گوسی تقریب زده می شود، در حالی که بیشترین فراوانی بین ۶۵۰۰۰ تا ۷۵۰۰۰ سیکل قرار داشت. روش های آماری- احتمالاتی جهت تحلیل نتایج استفاده شدند. تنش های پسماند اندازه گیری شده در ۲۰ نمونه نشان دادند که تنش پسماند جوشکاری یک کمیت اتفاقی بوده و اثر آن باید به روش های احتمالاتی مطالعه شود. اثرات رهائی تنش پسماند در مطالعه رشد ترک باید در نظر گرفته شود. مقادیر نرخ رشد ترک از آزمایش ها به دست آمدند. تصویربرداری از سطوح شکست در نمونه های آزمایشی نشان داد که هشت نمونه در مقطعی دچار

شکست شدند که ترک سطحی اولیه در آن ایجاد شده بود. رشد ترک در عرض و ضخامت نمونه ها برای این نوع شکست مشاهده گردید. دو نوع مکانیزم شکست شناسائی شد. در تعدادی از نمونه ها، ترک به صورت متقارن نسبت به صفحه میانی سطح شکست رشد نمود. در مابقی نمونه ها، ترک به صورت نامتقارن رشد کرد. الگوریتم ژنتیک برای پیش بینی مقدار تنش پسماند در قطعات چوشکاری شده با استفاده از مقادیر نرخ رشد ترک که از آزمایش ها به دست آمده بودند، انجام گرفت. نتایج نشان داد که با استفاده از مقادیر نرخ رشد ترک اندازه گیری شده و مدل الگوریتم ژنتیک، تنش های پسماند با تقریب خوبی می توانند تخمین زده شوند.

لغات کلیدی: جوشکاری MAG، تنش پسماند، روش سوراخ کاری، عمر خستگی، الگوریتم ژنتیک.

فهرست مطالب

<u>شماره صفحه</u>	<u>عنوان</u>
۱	فصل اول: مقدمه
۷	فصل دوم: پیشینه پژوهش
۱۹	فصل سوم: تئوری ها
۲۰	۳-۱ آمار و احتمالات
۲۰	۳-۱-۱ مقدمه
۲۱	۳-۱-۲ تعریف پارامترهای آماری
۲۲	۳-۱-۳ احتمالات
۲۳	۳-۱-۴تابع توزیع طبیعی
۲۸	۳-۱-۵ بازه های اطمینان
۳۳	۳-۲ خستگی
۳۳	۳-۲-۱ توصیف خستگی
۳۵	۳-۲-۲ تحلیل شروع ترک
۳۵	۳-۲-۳ تحلیل انتشار ترک
۳۶	۳-۲-۴ ضریب شدت تنش
۳۷	۳-۲-۵ سفتی شکست
۳۹	۳-۳ محاسبات انتشار ترک
۴۱	۳-۴ نواقص جوش
۴۳	۳-۵ تنش های پسماند

۴۸	۳-۶ مروری بر توزیع های تنش پسماند
۵۴	۳-۷ توزیع مجدد تنش پسماند
۵۶	۳-۸ مکانیک شکست احتمالاتی
۶۰	۳-۹ الگوریتم ژنتیک
۶۵	فصل چهارم: نتایج تحقیق
۶۵	۴-۱ شرح ماده و نمونه های آزمایشی
۷۱	۴-۲ اندازه گیری تنش پسماند
۷۳	۴-۳ رهاسازی تنش پسماند
۷۴	۴-۴ آزمایش های خستگی
۸۰	۴-۵ تحلیل نرخ رشد ترک
۸۴	۴-۶ تحلیل احتمالاتی اثر تنش پسماند
۸۴	۴-۶-۱ مقدمه
۹۰	۴-۶-۲ روند محاسبه رشد ترک
۹۱	۴-۶-۳ محاسبه ضریب شدت تنش پسماند
۹۳	۴-۶-۴ محاسبه عمر خستگی
۹۸	۴-۶-۵ توزیع مجدد تنش پسماند
۱۰۴	۴-۷ تصویربرداری از سطوح شکست
۱۱۳	۴-۸ پیش بینی تنش پسماند توسط الگوریتم ژنتیک
۱۱۸	فصل پنجم: شبیه سازی اجزاء محدود
۱۱۸	۵-۱ مقدمه
۱۱۸	۵-۲ معرفی نرم افزار Marc Mentat 2007 r1
۱۱۹	۵-۳ مدل

۱۲۳	۵-۴ مرحله اول جوش کاری
۱۵۸	۵-۵ مرحله دوم جوش کاری
۱۷۰	۵-۶ مرحله سوم جوش کاری
۱۸۳	۵-۷ مرحله چهارم جوش کاری
۱۹۶	۵-۸ مرحله پنجم جوش کاری
۲۰۹	بحث در مورد نتایج
۲۱۵	نتیجه گیری و پیشنهادها
۲۱۸	مراجع
۲۲۳	پیوست

فهرست اشکال

<u>صفحه</u>	<u>عنوان</u>	<u>شماره شکل</u>
۳	تغییرپذیری در توزیع احتمالاتی برای تنش تسلیم در فولاد ۱۰۳۵	شکل (۱-۱)
۴	عدم قطعیت در قاعده ماینرز	شکل (۱-۲)
۴	تغییرپذیری توزیع تنش پسماند	شکل (۱-۳)
۲۴	نمایش تابع چگالی احتمالاتی طبیعی و تابع توزیع تجمعی آن	شکل (۳-۱)
۳۳	نمونه ای از علائم ساحلی دریک سطح شکست حاصل از خستگی	شکل (۳-۲)
۳۵	نمونه ای از منحنی های S-N	شکل (۳-۳)
۳۶	شکل های انتشار ترک	شکل (۳-۴)
۳۷	تغییرات سفتی شکست با درجه حرارت	شکل (۳-۵)
۳۸	تغییرات سفتی شکست با ضخامت نمونه	شکل (۳-۶)
۳۹	تغییرات ΔK_{th} بر حسب نسبت تنش، R ، برای آلیاژهای آهنی	شکل (۳-۷)
۴۴	نمایش شماتیکی تنش های پسماند نوع I، II و III	شکل (۳-۸)
۴۷	(الف): دستگاه نمایشگر کرنش ها، (ب): نمای عمومی از دستگاه سوراخکاری جهت اندازه گیری تنش پسماند	شکل (۳-۹)

۵۰	توزیع های تنش پسماند عرضی در جوش لب به لب ورق گزارش شده توسط محققان مختلف	شکل (۳-۱۰)
۵۰	توزیع های تنش پسماند طولی در جوش لب به لب ورق گزارش شده توسط محققان مختلف	شکل (۳-۱۱)
۵۱	توزیع های تنش پسماند در اتصال درز جوش لوله ها	شکل (۳-۱۲)
۵۱	توزیع های تنش پسماند حلقه ای در اتصالات لب به لب محیطی لوله ها	شکل (۳-۱۳)
۵۲	توزیع های تنش پسماند طولی در اتصالات جوش لب به لب محیطی لوله ها	شکل (۳-۱۴)
۵۲	توزیع های تنش پسماند در جوش لب به لب T شکل	شکل (۳-۱۵)
۵۳	توزیع های تنش پسماند عرضی در جوش لوله به ورق	شکل (۳-۱۶)
۵۴	توزیع های تنش پسماند طولی در جوش لوله به ورق	شکل (۳-۱۷)
۵۵	هندرسه نمونه آزمایشی	شکل (۳-۱۸)
۵۵	توزیع مجدد تنش پسماند به دلیل رشد ترک خستگی	شکل (۳-۱۹)
۵۸	نمونه ای از دیاگرام درختی نوافص در گسیختگی در قطعات جوشکاری شده	شکل (۳-۲۰)
۵۹	محاسبه مقدار عدد π به روش مونت کارلو	شکل (۳-۲۱)
۶۷	جزئیات پیخ V شکل	شکل (۴-۱)
۶۸	نمایش شماتیک نمونه های آزمایشی	شکل (۴-۲)
۶۹	(الف): نمای عمومی یکی از نمونه های آزمایشی، (ب): نمای نزدیک از جوش، (ج): ۲۰ نمونه آزمایشی در کنار یکدیگر	شکل (۴-۳)

۷۰	<p>(الف): نمایش شماتیک ترک سطحی مرکزی در لبه جوش، (ب): نمای نزدیک از ترک مصنوعی، (پ): نمای نزدیک دیگری برای ترک سطحی مرکزی ایجاد شده در نمونه های آزمایشی، (ت): الکتروود برنجی برای ماشینکاری EDM</p>	شکل (۴-۴)
۷۱	<p>(الف): نمای دور از نمونه آزمایشی با کرنش سنج نصب شده روی آن، (ب): نمای نزدیک از کرنش سنج روزت نصب شده روی نمونه</p>	شکل (۴-۵)
۷۳	<p>نمودار فراوانی نسبی برای حداکثر تنش پسماند</p>	شکل (۴-۶)
۷۴	<p>مقایسه بین نمودار توزیع فراوانی تجمعی برای نتایج آزمایش و توزیع طبیعی</p>	شکل (۴-۷)
۷۶	<p>رهاسازی در تنش پسماند بر حسب تعداد سیکل بارگذاری</p>	شکل (۴-۸)
۷۷	<p>بارگذاری سینوسی اعمال شده در آزمایش های خستگی</p>	شکل (۴-۹)
۷۸	<p>(الف): نمودار فراوانی نسبی عمر خستگی در نمونه های آزمایشی، (ب): مقایسه بین فراوانی تجمعی عمر خستگی نمونه های آزمایشی و توزیع طبیعی</p>	شکل (۴-۱۰)
۸۱	<p>منحنی تغییرات da/dN بر حسب ΔK برای معادلات تئوری و اطلاعات آزمایش ها</p>	شکل (۴-۱۱)
۸۲	<p>منحنی تغییرات da/dN بر حسب ΔK برای نمونه</p>	شکل (۴-۱۲)
		شماره ۸

۸۲	منحنی تغییرات da/dN بر حسب ΔK برای نمونه	شکل (۴-۱۳)
	شماره ۹	
۸۳	منحنی تغییرات da/dN بر حسب ΔK برای نمونه	شکل (۴-۱۴)
	شماره ۱۱	
۸۳	منحنی تغییرات da/dN بر حسب ΔK برای نمونه	شکل (۴-۱۵)
	شماره ۱۲	
۸۴	منحنی تغییرات da/dN بر حسب ΔK برای نمونه	شکل (۴-۱۶)
	شماره ۱۳	
۸۴	منحنی تغییرات da/dN بر حسب ΔK برای نمونه	شکل (۴-۱۷)
	شماره ۱۴	
۸۵	منحنی تغییرات da/dN بر حسب ΔK برای نمونه	شکل (۴-۱۸)
	شماره ۱۶	
۸۵	منحنی تغییرات da/dN بر حسب ΔK برای نمونه	شکل (۴-۱۹)
	شماره ۱۷	
۸۹	ورق جوشکاری شده نامحدود با یک ترک میانی تحت اثر با رکششی یکنواخت	شکل (۴-۲۰)
۹۲	تغییرات K_r بر حسب نسبت $c = a/b$	شکل (۴-۲۱)
۹۴	توزیع احتمالاتی تجمعی برای عمر خستگی	شکل (۴-۲۲)
۹۵	توزیع عمر خستگی محاسبه شده	شکل (۴-۲۳)
۹۶	مقایسه بین توزیع عمر خستگی محاسبه شده و توزیع طبیعی	شکل (۴-۲۴)
۹۶	تغییرات متوسط عمر خستگی بر حسب متوسط حداکثر	شکل (۴-۲۵)

تنش پسمند

۹۷	تغییرات متوسط عمر خستگی بر حسب ضریب تغییرات حداکثر تنش پسمند	شکل (۴-۲۶)
۹۸	تغییرات متوسط عمر خستگی بر حسب متوسط مقدار b تغییرات مربوط به b	شکل (۴-۲۷)
۹۹	تابع توزیع تجمعی برای عمر خستگی با منظور شدن توزیع مجدد تنش پسمند	شکل (۴-۲۸)
۱۰۰	تابع توزیع عمر خستگی با منظور شدن توزیع مجدد تنش پسمند	شکل (۴-۲۹)
۱۰۰	مقایسه بین توزیع محاسبه شده برای عمر خستگی و توزیع طبیعی استاندارد	شکل (۴-۳۰)
۱۰۱	تغییرات متوسط عمر خستگی با لحاظ شدن توزیع مجدد تنش پسمند بر حسب متوسط حداکثر تنش	شکل (۴-۳۱)
۱۰۱	تغییرات متوسط عمر خستگی با لحاظ شدن توزیع مجدد تنش پسمند بر حسب ضریب تغییرات حداکثر	شکل (۴-۳۲)
۱۰۲	تغییرات متوسط عمر خستگی با لحاظ شدن توزیع مجدد تنش پسمند کششی	شکل (۴-۳۳)
۱۰۲	تغییرات متوسط عمر خستگی با لحاظ شدن توزیع مجدد تنش پسمند بر حسب متوسط b	شکل (۴-۳۴)
۱۰۲	تغییرات متوسط عمر خستگی با توزیع مجدد تنش پسمند بر حسب COV مربوط به b	شکل (۴-۳۵)

۱۰۳	<p>تغییرات عمر خستگی بر حسب مقدار متوسط پارامتر β</p>	شکل (۴-۳۶)
۱۰۳	<p>تغییرات عمر خستگی بر حسب مقدار COV پارامتر β</p>	شکل (۴-۳۷)
۱۰۷	<p>(الف): دو تکه شکسته شده نمونه در کنار هم، (ب) و (پ): دو نما با بزرگنمایی متفاوت از مقطع یکی از تکه های نمونه آزمایشی شکسته شده، (ت): نمای دیگر با بزرگنمایی متفاوت از مقطع یکی از تکه های نمونه آزمایشی شکسته شده، (ث): علائم ساحلی بصورت قطاع های دایروی در مقطع شکست، (ج): مقطع شکست دو تکه نمونه در کنار هم، (چ) و (ح): نمای جلو و پشت نمونه شکسته شده</p>	شکل (۴-۳۸)
۱۰۸	<p>(الف): مقطع شکست دو تکه نمونه در کنار یکدیگر، (ب) و (پ): دو نمای نزدیک با بزرگنمایی متفاوت از مقطع شکست، (ت): نمای رو برو، (ث): نمای پشت و (ج): نمای جانبی دو تکه نمونه شکسته شده در کنار یکدیگر</p>	شکل (۴-۳۹)
۱۱۰	<p>مقطع شکست در موضع سوراخ ایجاد شده برای اندازه گیری تنش پسماند در نمونه، دو تصویر با بزرگنمایی های مختلف</p>	شکل (۴-۴۰)
۱۱۱	<p>تصاویر شکست در موضع لبه جوش، (الف): نمای پشت، تصاویر شکست در موضع لبه جوش (ب): نمای جلو، (پ) نمای جانبی از نمونه، (ت) نمای مقطع شکست</p>	شکل (۴-۴۱)

۱۱۲	تصاویر شکست در موضع نزدیک به سربند نمونه آزمایشی شماره ۱۰، (الف): نمای دور، (ب): نمای نزدیک از نمونه	شکل (۴-۴۲)
۱۱۰	منحنی مقدار شایستگی برای نمونه شماره ۴	شکل (۴-۴۳)
۱۱۰	منحنی مقدار شایستگی برای نمونه شماره ۶	شکل (۴-۴۴)
۱۱۱	منحنی مقدار شایستگی برای نمونه شماره ۸	شکل (۴-۴۵)
۱۱۱	منحنی مقدار شایستگی برای نمونه شماره ۹	شکل (۴-۴۶)
۱۱۲	منحنی مقدار شایستگی برای نمونه شماره ۱۱	شکل (۴-۴۷)
۱۱۲	منحنی مقدار شایستگی برای نمونه شماره ۱۲	شکل (۴-۴۸)
۱۱۳	منحنی مقدار شایستگی برای نمونه شماره ۱۳	شکل (۴-۴۹)
۱۱۳	منحنی مقدار شایستگی برای نمونه شماره ۱۴	شکل (۴-۵۰)
۱۱۴	منحنی مقدار شایستگی برای نمونه شماره ۱۶	شکل (۴-۵۱)
۱۱۴	منحنی مقدار شایستگی برای نمونه شماره ۱۷	شکل (۴-۵۲)
۱۱۵	منحنی مقدار شایستگی برای نمونه شماره ۱۸	شکل (۴-۵۳)
۱۱۵	منحنی مقدار شایستگی برای نمونه شماره ۱۹	شکل (۴-۵۴)
۱۱۶	منحنی مقدار شایستگی برای نمونه شماره ۲۰	شکل (۴-۵۵)
۱۲۰	ورق و پنج مرحله جوش قوسی برای آن	شکل (۵-۱)
۱۲۱	المان شماره ۱۹ در نرم افزار Marc	شکل (۵-۲)
۱۲۱	المان شماره ۳۹ در نرم افزار Marc	شکل (۵-۳)
۱۲۵	مدل هندسی و شبکه بندی اجزاء محدود ورق	شکل (۵-۴)
۱۲۷	هندسه ورق و پاس اول جوش به همراه شبکه بندی اجزاء محدود آنها، نمای دور	شکل (۵-۵)

۱۲۷	نمای نزدیک	شکل (۵-۶)
۱۲۹	مدل بعد از تعریف جنس ورق و فیلر	شکل (۵-۷)
۱۳۱	نمایش دو بعدی مدل پس از تعریف مشخصات جوش	شکل (۵-۸)
۱۳۲	نمایش سه بعدی مدل پس از تعریف مشخصات جوش	شکل (۵-۹)
۱۳۳	مدل پس از تعریف مشخصات تماس ورق و فیلر	شکل (۵-۱۰)
۱۳۵	مدل پس از اعمال شرط مرزی اول	شکل (۵-۱۱)
۱۳۶	مدل پس از اعمال شرط مرزی دوم	شکل (۵-۱۲)
۱۳۷	مدل پس از اعمال شرط مرزی سوم	شکل (۵-۱۳)
۱۴۰	توزیع درجه حرارت در پایان جوش کاری (بعد از ۱۸ ثانیه)	شکل (۵-۱۴)
۱۴۱	زمان	شکل (۵-۱۵)
۱۴۴	کرنش کل پلاستیک معادل در ورق پس از پایان جوش کاری	شکل (۵-۱۶)
۱۴۶	موج گسترش کرنش پلاستیک از شروع تا انتهای جوش کاری	شکل (۵-۱۷)
۱۴۹	توزیع تنش پسماند عرضی در ورق طی فرآیند جوش کاری	شکل (۵-۱۸)
۱۵۰	توزیع تنش پسماند عرضی پس از جوش کاری در ورق: (الف)- به صورت طیف رنگی و، (ب)- به صورت خطوط تنش ثابت	شکل (۵-۱۹)
۱۵۱	نمونه ای از نمایش مقادیر تنش پسماند عرضی در گره ها	شکل (۵-۲۰)
۱۵۲	توزیع تنش پسماند عرضی در نقاط بالائی ورق	شکل (۵-۲۱)
۱۵۲	توزیع تنش پسماند طولی در ورق طی فرآیند جوش کاری	شکل (۵-۲۲)
	توزیع تنش پسماند طولی پس از جوش کاری در ورق:	شکل (۵-۲۳)